

FIZYKA

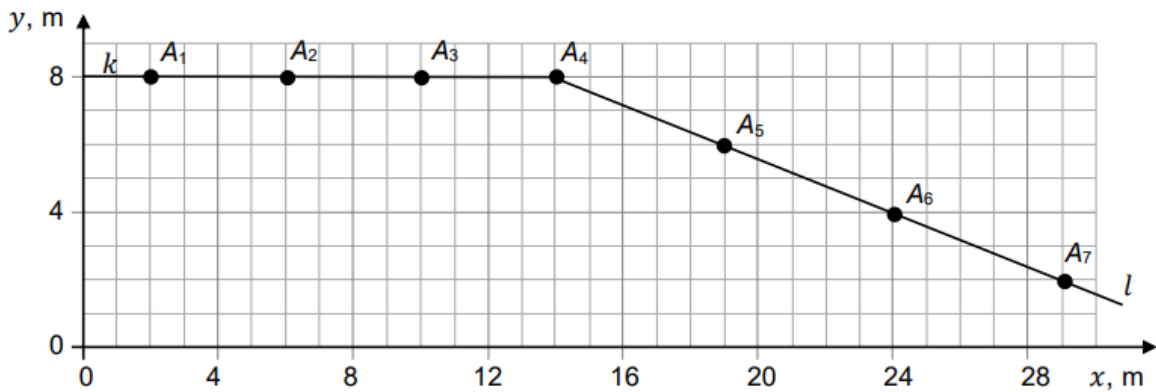
Poziom rozszerzony



Zadania maturalne z fizyki

Zadanie 1. Impulsowe działanie siły

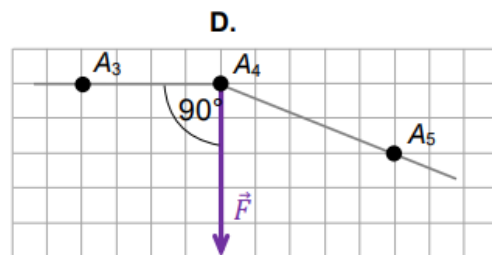
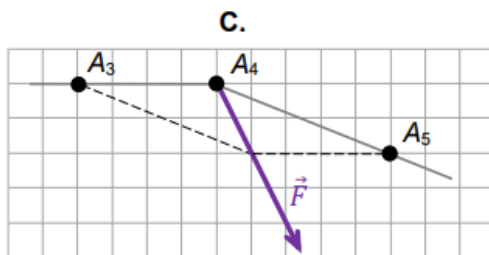
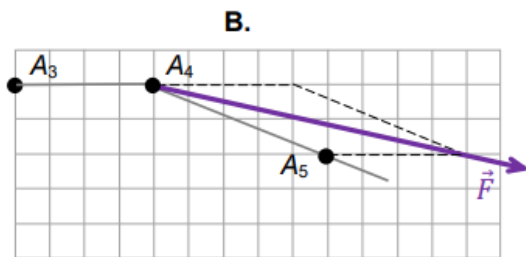
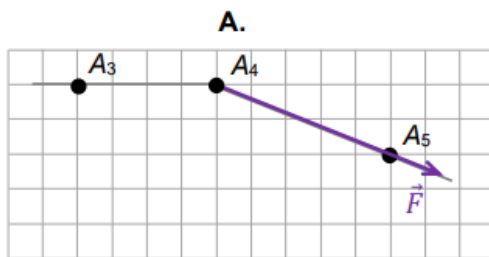
Na rysunku poniżej przedstawiono ruch ciała o masie $m = 0,5 \text{ kg}$ w inercjalnym układzie odniesienia, we współrzędnych (x, y) . Początkowo ciało poruszało się swobodnie ruchem jednostajnym z prędkością \vec{v}_k wzdłuż prostej k . W punkcie A_4 na ciało zadziałała siła \vec{F} , przy czym czas jej działania był bardzo krótki i wynosił $\Delta\tau = 0,02 \text{ s}$. Gdy siła przestała działać, ciało poruszało się dalej ruchem jednostajnym z prędkością \vec{v}_l wzdłuż prostej l . Na wykresie toru narysowano i oznaczono położenia ciała w pierwszym etapie ruchu (A_1 – A_4) i w drugim etapie ruchu (A_4 – A_7). Czas ruchu wzdłuż każdego z odcinków: $A_1A_2, A_2A_3, \dots, A_6A_7$ był taki sam i wynosił $\Delta t = 1 \text{ s}$.



Przyjmij model zjawiska, w którym zakładamy, że siła \vec{F} była stała. Na rysunkach pominięto bardzo krótki paraboliczny fragment toru, gdy na ciało działała siła \vec{F} .

Zadanie 1.1. (0–1)

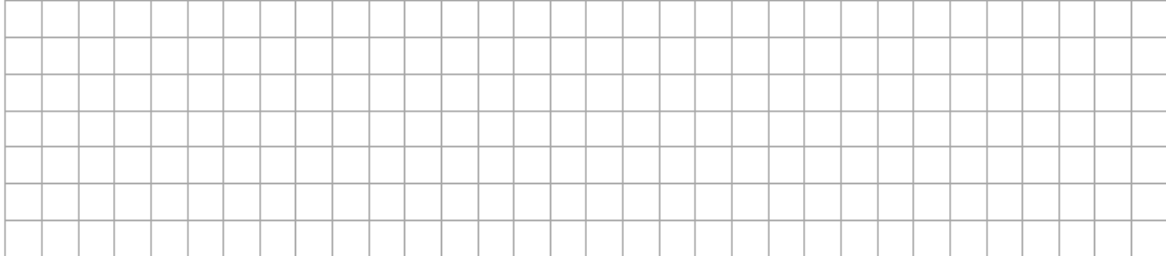
Na którym diagramie (spośród A–D) prawidłowo przedstawiono kierunek i zwrot siły \vec{F} ? Zaznacz właściwą odpowiedź spośród podanych.



Zadanie 3.2. (0–3)

Ustal i zapisz, czy zderzenie było doskonale sprężyste. Uzasadnij swoje stwierdzenie. W uzasadnieniu powołaj się na odpowiednie prawa lub zależności fizyczne i wykonaj niezbędne obliczenia.

Przyjmij do obliczeń masę ciała B równą 250 g.

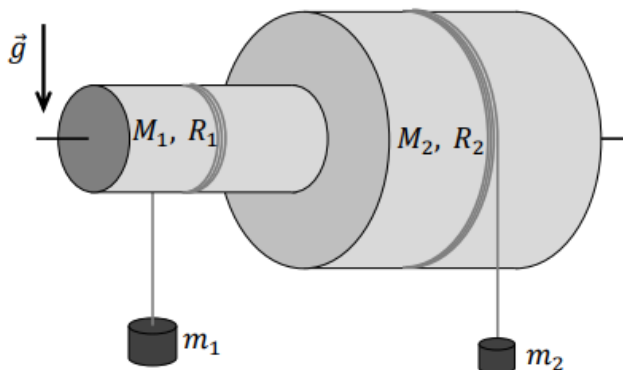


Zadanie 4. Kołowrót

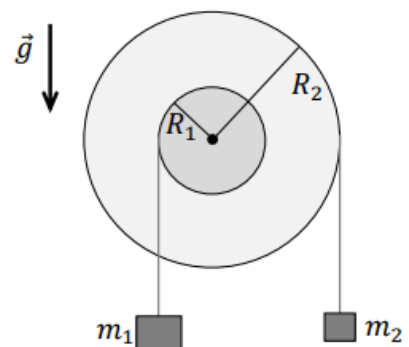
Dwa jednorodne walce połączone na sztywno tak, że tworzą one bryłę obrotową (zobacz rysunek 1. i rysunek 2.). Może się ona obracać wokół nieruchomej poziomej osi, która pokrywa się z jej osią symetrii. Na walec o promieniu $R_1 = 5$ cm i masie $M_1 = 3$ kg nawinięto sznurek, do którego końca przymocowano ciężarek o masie $m_1 = 2$ kg. Na walec o promieniu $R_2 = 12$ cm i masie $M_2 = 8$ kg nawinięto sznurek, do którego końca przymocowano ciężarek o masie $m_2 = 1$ kg. Początki obu nierozciągliwych sznurków są przytwierdzone – odpowiednio – do każdego z walców, a kierunki ich nawinięcia na oba walce są przeciwne. Sznurki nawinięto prostopadłe do osi walców tak, że nie zostawiono luzów. Podczas ruchu obrotowego bryły sznurki mogą nawijać się i odwijać. Układ znajduje się w ziemskim polu grawitacyjnym, przyspieszenie ziemskie wynosi \vec{g} . W chwili początkowej układ jest nieruchomy.

Opisany układ odblokowano: umożliwiono połączonym walcem obracanie się wokół nieruchomej, poziomej osi. Pomiń opory ruchu oraz masę i grubość sznurków. Moment bezwładności jednorodnego walca o masie M i promieniu R jest równy $\frac{1}{2}MR^2$.

Rysunek 1.



Rysunek 2. (widok z boku)



Dokończ zdanie. Wpisz właściwą odpowiedź oraz ją uzasadnij, odwołując się do odpowiednich praw lub zasad.

Ruch po orbicie eliptycznej prawidłowo zilustrowano rysunkiem nr

Uzasadnienie:

Zadanie 7. Ruch Eris dookoła Słońca

Planeta karłowata Eris obiega Słońce po orbicie eliptycznej w czasie około 557 lat ziemskich. Prędkość planety w peryhelium ma wartość $v_p = 5,81$ km/s, natomiast prędkość planety w aphelium ma wartość $v_A = 2,25$ km/s. Wektory prędkości planety w aphelium i peryhelium są prostopadłe do promienia wodzącego – łączącego planetę ze Słońcem.

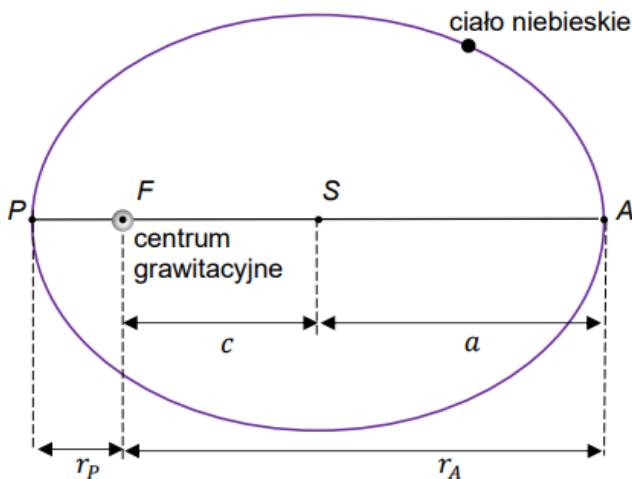
Wiadomo, że III prawo Keplera – zastosowane do orbit eliptycznych – ma postać:

$$\frac{T^2}{a^3} = \text{const}$$

gdzie a jest długością półosi wielkiej elipsy (patrz opis elipsy poniżej).

Informacja do zadań 7.1.– 7.3.

Na rysunku poniżej przedstawiono orbitę eliptyczną ruchu ciała niebieskiego dookoła centrum grawitacyjnego oraz oznaczono i opisano niektóre charakterystyczne punkty i odcinki opisujące geometrię takiej orbity.



F – jedno z ognisk elipsy.

S – środek elipsy.

P – punkt orbity leżący najbliżej centrum grawitacyjnego.

A – punkt orbity leżący najdalej od centrum grawitacyjnego.

SP lub SA – wielka półoś elipsy.

Relacje między długościami odcinków:

$$r_A + r_P = 2a \quad r_A - r_P = 2c$$

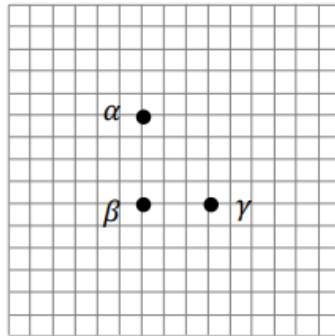
Kształt orbity eliptycznej opisuje m.in. mimośród orbity, który jest zdefiniowany jako:

$$e = \frac{c}{a}$$

Zadanie 8. Rozszerzanie się Wszechświata

Na poniższym rysunku przedstawiono położenie względem siebie trzech galaktyk α , β , γ . Odległości między tymi galaktykami są rzędu dziesiątek milionów lat świetlnych.

Na płaszczyźnie rysunku naniesiono siatkę ukazującą stosunki odległości między galaktykami. Długość boku kratki odpowiada umownej jednostce odległości. Przyjmij, że prędkości względne tych galaktyk wynikają jedynie z rozszerzania się Wszechświata.

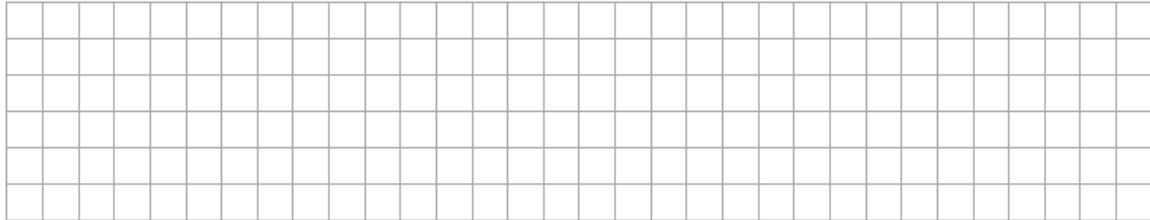


Zadanie 8.1. (0–2)

Wartość prędkości względnej galaktyk α i β oznaczmy jako $v_{\alpha\beta}$.

Wartość prędkości względnej galaktyk β i γ oznaczmy jako $v_{\beta\gamma}$.

Oblicz iloraz $\frac{v_{\alpha\beta}}{v_{\beta\gamma}}$. Zapisz obliczenia.



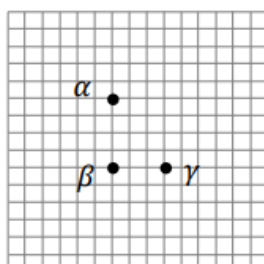
Zadanie 8.2. (0–1)

Po pewnym bardzo długim czasie (np. rzędu setek milionów lat), w wyniku rozszerzania się Wszechświata, względne położenia galaktyk α , β , γ się zmienią.

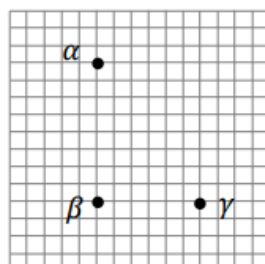
Na którym rysunku (spośród A–D) prawidłowo przedstawiono możliwe położenia galaktyk po bardzo długim czasie? Zaznacz właściwą odpowiedź spośród podanych.

Długość boku kratki na rysunkach A–D odpowiada tej samej umownej jednostce długości, co na rysunku we wstępie do zadania.

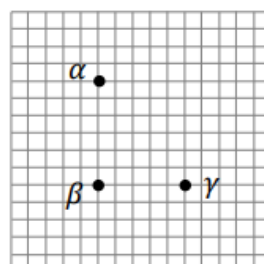
A.



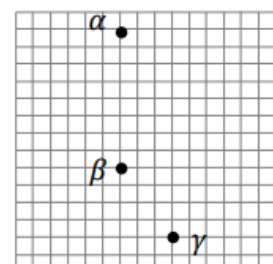
B.



C.



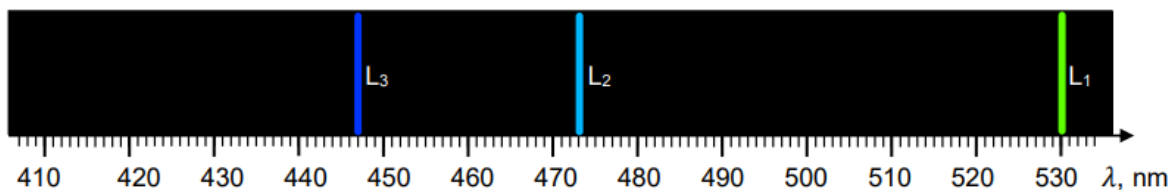
D.



Zadanie 9. Przesunięcie widma ku czerwieni

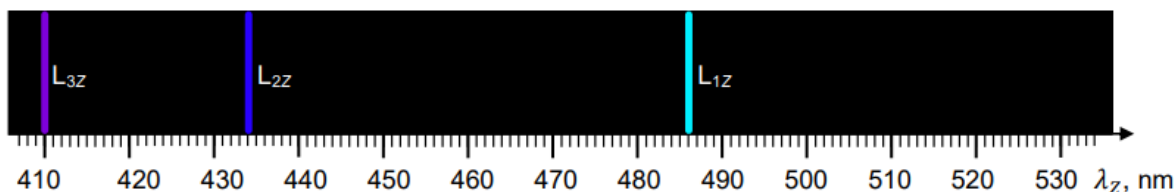
W pewnym miejscu w przestrzeni kosmicznej źródło wyemitowało promieniowanie elektromagnetyczne. Fragment widma tego promieniowania, zarejestrowanego przez detektor w innym miejscu Wszechświata, został przedstawiony na rysunku 1. Przyjmij, że między źródłem a detektorem promieniowanie z niczym nie oddziaływało.

Rysunek 1.



Naukowcy przypuszczają, że zarejestrowane promieniowanie jest emitowane przez wzbudzone atomy wodoru. Fragment widma promieniowania wodoru, zarejestrowanego w układzie odniesienia, w którym próbka wodoru spoczywa, jest przedstawiony na rysunku 2. Długości fal linii widmowych na rysunku 1. są wprost proporcjonalne do tych na rysunku 2. Odpowiadające sobie linie widmowe oznaczono: L_1 i L_{1Z} ; L_2 i L_{2Z} ; L_3 i L_{3Z} .

Rysunek 2.



Informacja do zadań 9.1.– 9.3.

Gdy źródło Z fali elektromagnetycznej porusza się względem obserwatora O (detektora) wzdłuż prostej OZ z prędkością o wartości v , to występuje efekt Dopplera. Częstotliwość f , jaką odbiera obserwator (detektor), jest dana dokładnym wzorem:

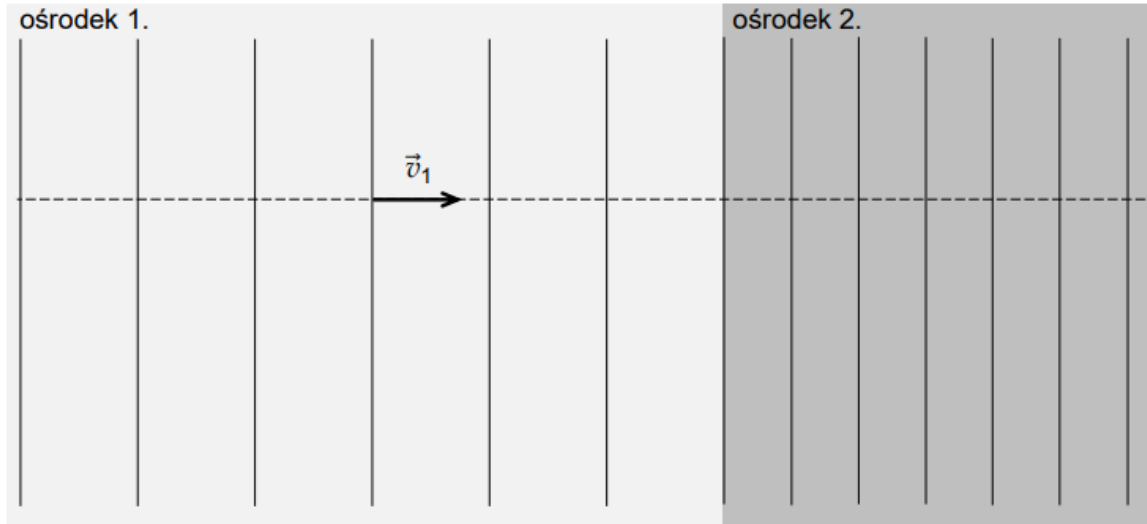
$$f = f_Z \sqrt{\frac{1 + \frac{v}{c}}{1 - \frac{v}{c}}} \quad (\text{źródło się zbliża}) \quad f = f_Z \sqrt{\frac{1 - \frac{v}{c}}{1 + \frac{v}{c}}} \quad (\text{źródło się oddala})$$

gdzie f_Z jest częstotliwością emitowanego promieniowania w układzie spoczynkowym źródła, a c jest prędkością światła. Powyższe wzory są słuszne dla dowolnej $v < c$.

Zadanie 10. Fala płaska

Fala dźwiękowa płaska przechodzi przez nieruchomą granicę ośrodków 1. i 2. w sposób przedstawiony na rysunku 1. poniżej. Powierzchnie falowe – oznaczone liniami pionowymi – są równoległe do granicy ośrodków, zatem prędkość fali \vec{v}_1 jest prostopadła do tej granicy. Na rysunku 1. zachowano skalę odległości między powierzchniami falowymi w wybranej chwili ruchu fali w obu ośrodkach.

Rysunek 1.



Zadanie 10.1. (0–2)

Oceń prawdziwość poniższych stwierdzeń. Zaznacz P, jeśli stwierdzenie jest prawdziwe, albo F – jeśli jest fałszywe.

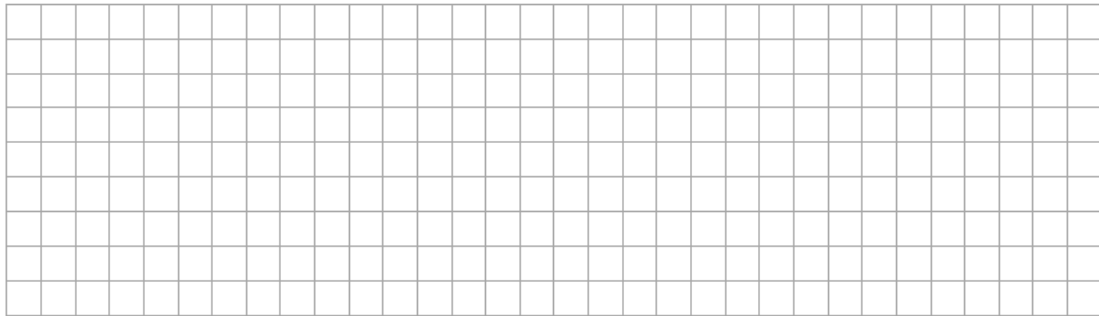
1.	Natężenie fali padającej na granicę ośrodków jest zawsze równe natężeniu fali, która przeszła do ośrodka drugiego.	P	F
2.	Długość fali padającej na granicę ośrodków jest zawsze równa długości fali, która przeszła do ośrodka drugiego.	P	F
3.	Częstotliwość fali padającej na granicę ośrodków jest zawsze równa częstotliwości fali, która przeszła do ośrodka drugiego.	P	F

Zadanie 10.2. (0–2)

Prędkość fali w ośrodku 1. ma wartość $v_1 = 3\,250$ m/s.

Oblicz wartość v_2 prędkości fali w ośrodku 2. Wynik podaj w m/s zaokrąglony do dwóch cyfr znaczących. Zapisz obliczenia.

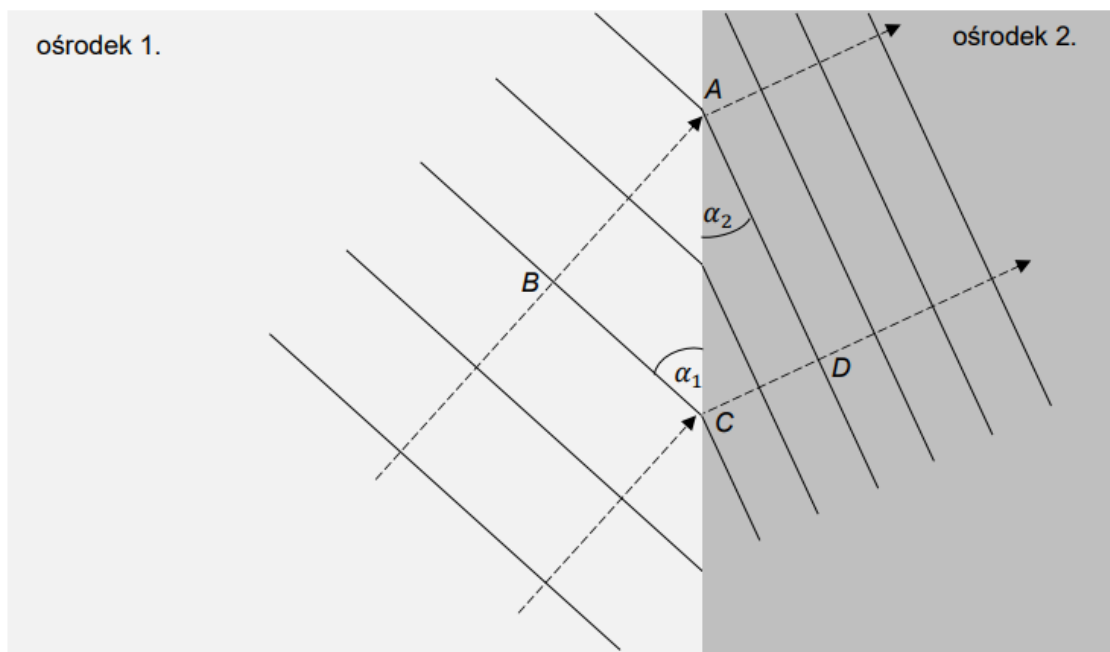
Niektóre dane liczbowe są zawarte w proporcjach geometrycznych na rysunku 1. W celu rozwiązania zadania wykonaj odpowiednie pomiary linijką – z dokładnością do 1 mm.



Zadanie 10.3. (0–3)

Fala płaska pada na granicę ośrodków 1. i 2., ale tym razem w sposób przedstawiony na rysunku 2. Powierzchnie falowe – oznaczone liniami ciągłymi – są nachylone do granicy ośrodków pod kątem α_1 w ośrodku 1. i pod kątem α_2 w ośrodku 2.

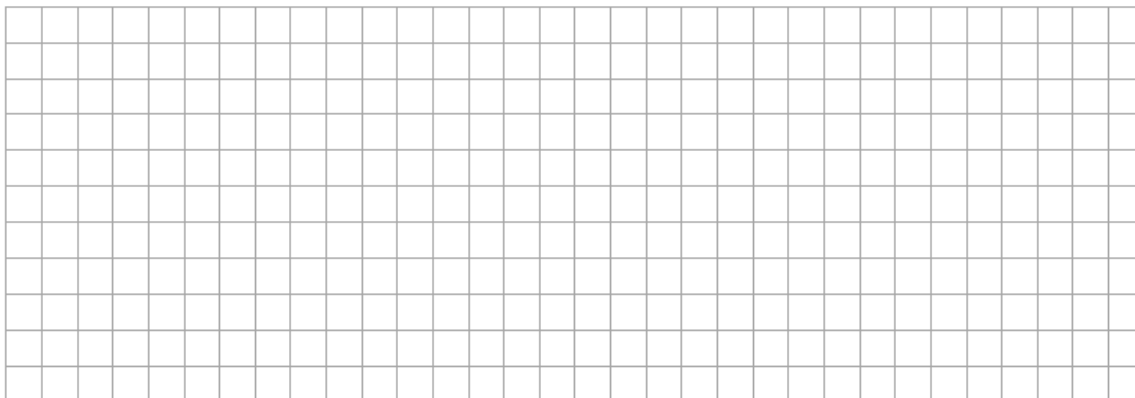
Rysunek 2.




Na rysunku 2. oznaczono linią przerywaną kierunek biegu fali przez oba ośrodki. Wartości prędkości fali w obu ośrodkach wynoszą odpowiednio v_1 i v_2 . Prawo załamania fali na granicy tych ośrodków opisano wzorem wyrażającym prawo Snelliusa:

$$\frac{\sin \alpha_1}{\sin \alpha_2} = \frac{v_1}{v_2}$$

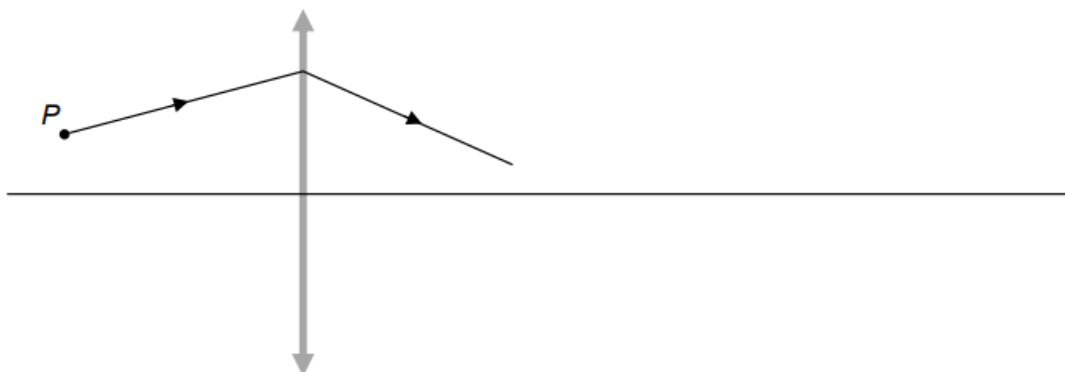
Wyprowadź powyższy wzór. Wykorzystaj obraz powierzchni falowych przedstawiony na rysunku 2., związki między parametrami fali oraz zależności matematyczne.



Zadanie 11. Soczewka (0–2) 

Na rysunku poniżej przedstawiono fragment biegu promienia światła wychodzącego z punktu P i przechodzącego przez cienką soczewkę skupiającą.

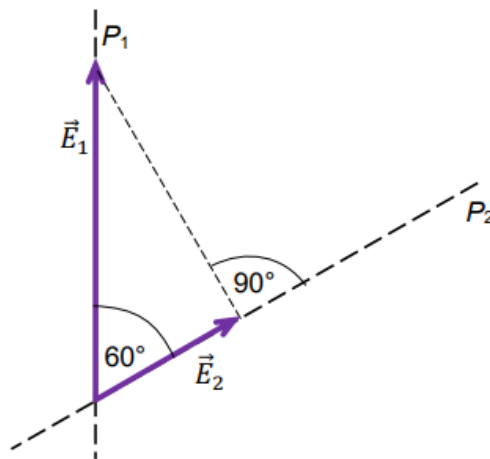
Skonstruuj i zaznacz na rysunku poniżej prawe ognisko F soczewki. Do wykonania konstrukcji użyj linijki.



Zadanie 14. (0–3) Polaryzacja światła

Wiązka niespolaryzowanego światła pada na pierwszy polaryzator liniowy. Po przejściu przez ten polaryzator natężenie spolaryzowanej liniowo fali elektromagnetycznej jest równe $I_1 = 20 \text{ W/m}^2$. Amplitudę wektora natężenia pola elektrycznego po przejściu przez pierwszy polaryzator oznaczmy jako \vec{E}_1 . Następnie światło tak spolaryzowane pada prostopadłe na drugi polaryzator liniowy, którego płaszczyzna polaryzacji P_2 jest ustawiona pod kątem $\alpha = 60^\circ$ do płaszczyzny polaryzacji P_1 pierwszego polaryzatora. Amplitudę wektora natężenia pola elektrycznego po przejściu przez drugi polaryzator oznaczmy jako \vec{E}_2 .

Jak przedstawiono na poniższym rysunku, \vec{E}_2 jest rzutem wektora \vec{E}_1 na P_2 .



Uwaga! Słowo „natężenie”, pojawiające się w treści i poleceniu, dotyczy dwóch różnych wielkości: natężenia I fali elektromagnetycznej oraz natężenia \vec{E} pola elektrycznego.

Oblicz natężenie I_2 fali elektromagnetycznej po przejściu przez drugi polaryzator. Zapisz obliczenia.

Zadanie 15. Indukcja elektrostatyczna

Uczniowie wykonali dwa doświadczenia: D1 i D2. Na początku każdego z doświadczeń umieścili metalowy klocek na nieprzewodzącej podstawie. W doświadczeniu D1 całkowity ładunek elektryczny klocka wynosił 0. W doświadczeniu D2 całkowity ładunek elektryczny klocka był uczniom nieznanym.

W obu doświadczeniach do klocka powoli zbliżono na niewielką odległość lekką kulkę wykonaną z izolatora i naładowaną dodatnio. Kulka była zawieszona na izolującej nici. Podczas obu doświadczeń kulka i klocek się nie dotykały. Po zbliżeniu kulki do klocka uczniowie obserwowali jej zachowanie się oraz analizowali oddziaływanie kulki z klockiem.



Zadanie 15.1. (0–1)

Dokończ zdanie. Zaznacz odpowiedź A, B albo C oraz odpowiedź 1., 2. albo 3.

W doświadczeniu D1, po zbliżeniu kulki do klocka, na jego powierzchni

A.	nie powstaną żadne ładunki,	a kulka	1.	nie oddziałuje z klockiem.
B.	z prawej strony (bliżej kulki) wystąpią ładunki ujemne, a z lewej – dodatnie,		2.	jest przyciągana przez klocek.
C.	z lewej strony (dalej od kulki) wystąpią ładunki ujemne, a z prawej – dodatnie,		3.	jest odpychana przez klocek.

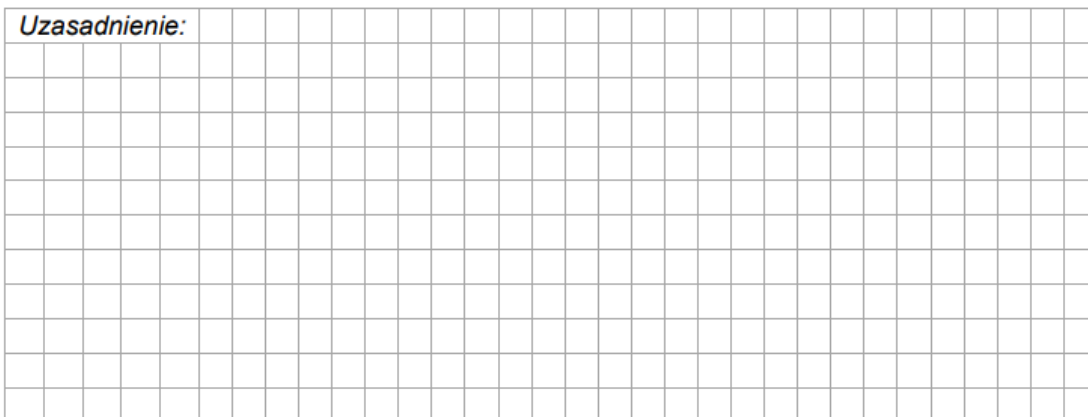
Zadanie 15.2. (0–2)

W doświadczeniu D2, po zbliżeniu kulki do kločka na pewną odległość, zaobserwowano, że kulka nie jest ani przyciągana, ani odpychana przez klocek.

Ustal i zapisz, czy ładunek całkowity kločka jest dodatni, ujemny czy równy 0. Uzasadnij swoje stwierdzenie. W uzasadnieniu powołaj się na odpowiednie prawa lub zasady fizyczne oraz przedstaw logiczny tok rozumowania

Ładunek całkowity kločka:

Uzasadnienie:

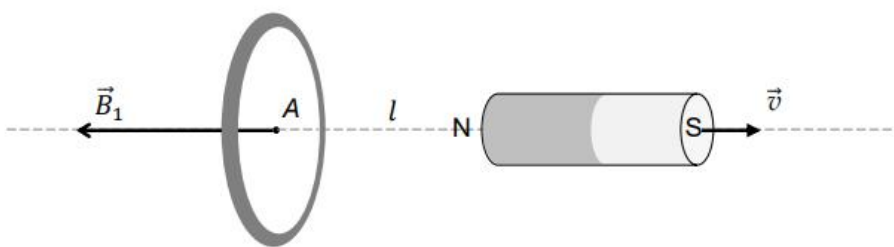


Zadanie 16. Indukcja elektromagnetyczna

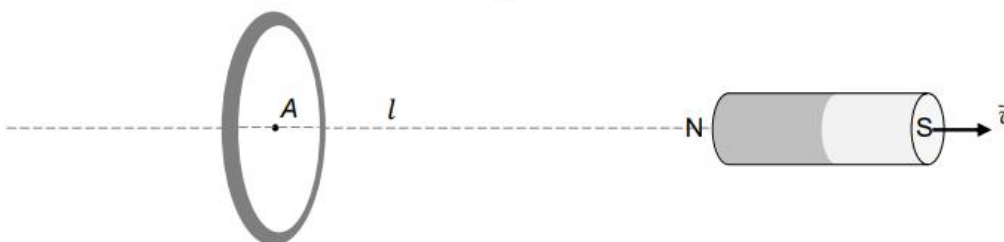
Magnes sztabkowy oddala się od aluminiowego pierścienia wzdłuż linii prostej l , która jest osią symetrii pierścienia. Na rysunkach 1. i 2. przedstawiono oddalający się od pierścienia magnes odpowiednio: w chwili t_1 oraz w późniejszej chwili t_2 . Na rysunku 1. dodatkowo narysowano w punkcie A wektor indukcji magnetycznej \vec{B}_1 , pochodzącej od magnesu w chwili t_1 . Przyjmij, że kształt linii pola jest symetryczny względem osi l . Pomiń wpływ innych pól. Punkt A leży w środku pierścienia.

Bliżej patrzącego jest część pierścienia narysowana grubszą linią.

Rysunek 1.



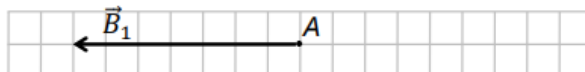
Rysunek 2.



Zadanie 16.3. (0–3)

Na diagramie 1. poniżej narysowano wektor indukcji magnetycznej \vec{B}_1 pochodzącej od magnesu, w punkcie A w chwili t_1 . Pierścienia i magnesu nie narysowano.

Diagram 1. (dla \vec{B}_1)



Wektory indukcji magnetycznej w różnych chwilach w punkcie A oznaczymy następująco:

\vec{B}_2 – wektor indukcji magnetycznej poła magnesu w chwili t_2 ,

$\Delta\vec{B}_{12}$ – wektor zmiany indukcji magnetycznej poła magnesu od chwili t_1 do t_2 ,

\vec{B}_{ind} – wektor indukcji magnetycznej wytworzonej przez prąd indukowany w pierścieniu.

Długość boku kratki na diagramach 1.–3. odpowiada tej samej umownej jednostce wartości wektora indukcji magnetycznej.

Na diagramie 2. narysuj i oznacz wektor \vec{B}_2 , a na diagramie 3. narysuj i oznacz wektory $\Delta\vec{B}_{12}$ oraz \vec{B}_{ind} . Wartości wektorów \vec{B}_1 , \vec{B}_2 , $\Delta\vec{B}_{12}$ muszą uwzględniać relacje $>$, $<$, $=$ oraz reguły działania na wektorach, a wektor \vec{B}_{ind} powinien mieć określony prawidłowy kierunek i zwrot.

Diagram 2. (dla \vec{B}_2)

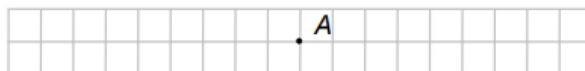
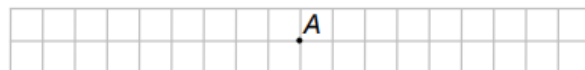
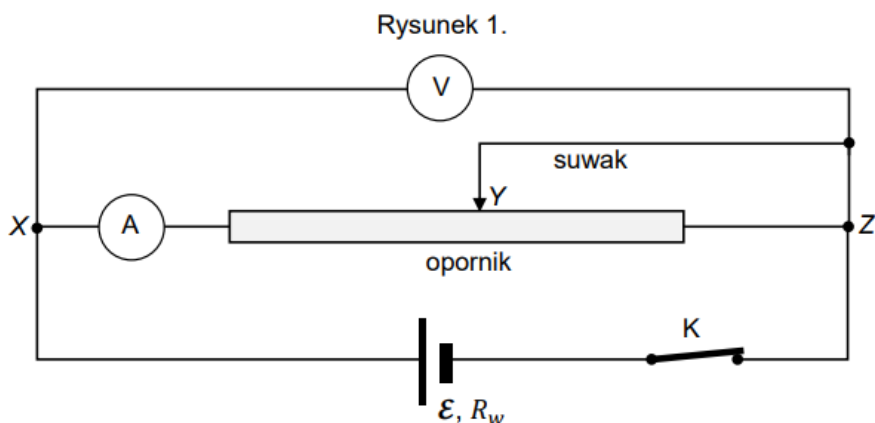


Diagram 3. (dla $\Delta\vec{B}_{12}$ oraz \vec{B}_{ind})



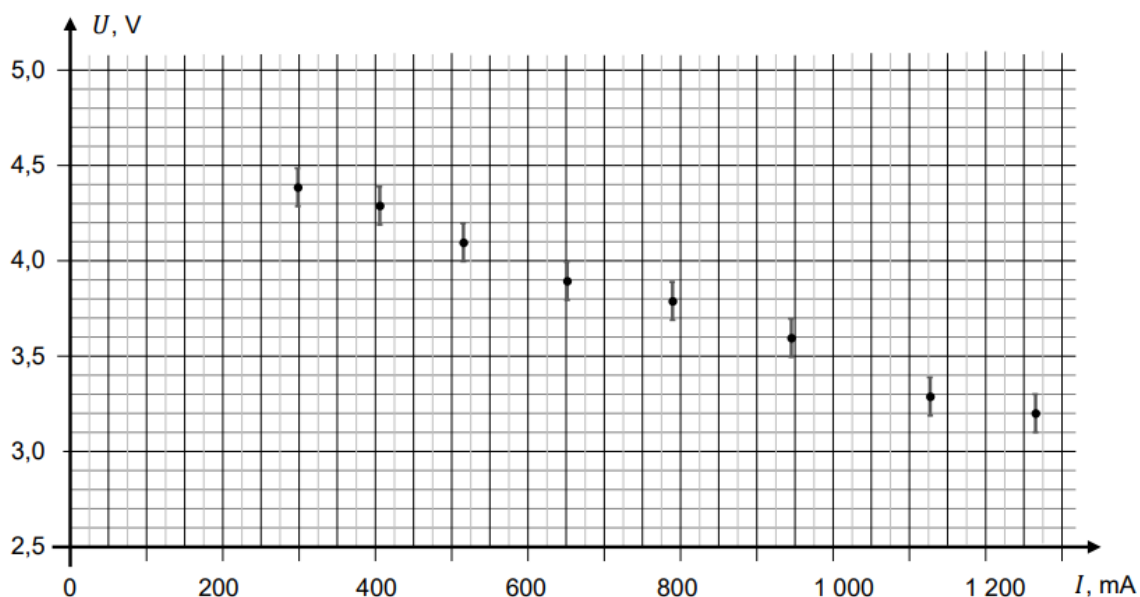
Zadanie 17. Badanie własności baterii płaskiej

Uczniowie wykonali doświadczenie, w którym wyznaczali siłę elektromotoryczną \mathcal{E} baterii oraz jej opór wewnętrzny R_w . W tym celu zbudowali obwód złożony z tej baterii, woltomierza, amperomierza, opornika z przesuwającym suwakiem oraz wyłącznika K (zobacz rysunek 1.). Przyjmij, że opór suwaka jest równy 0.



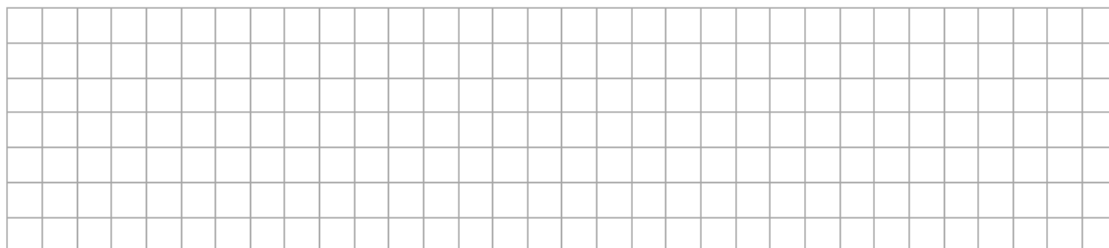
Następnie, dla różnych położeń suwaka na oporniku, uczniowie mierzyli natężenie I prądu przepływającego przez opornik oraz napięcie U na tym oporniku. Niepewność pomiaru napięcia wynosiła $\Delta U = \pm 0,1 \text{ V}$, natomiast natężenie prądu mierzono z niepewnością $\Delta I = \pm 1 \text{ mA}$. Wyniki pomiarów uczniowie przedstawili na diagramie współrzędnych (I, U) , w postaci punktów pomiarowych wraz z odcinkami niepewności (zobacz rysunek 2.).

Rysunek 2.



Zadanie 17.1. (0–2)

Wykaż, że napięcie U_{XY} pomiędzy punktami X i Z (na rysunku 1.) jest równe napięciu U_{XY} na części opornika pomiędzy punktami X i Y. Powołaj się na odpowiednie zależności fizyczne, uzasadniające to stwierdzenie.



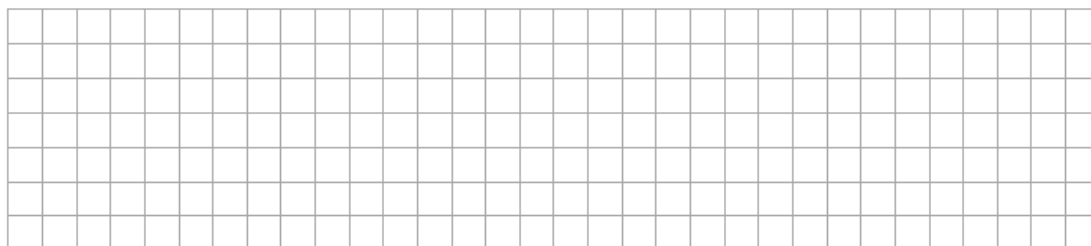
Informacja do zadań 17.2–17.3.

Na podstawie modelu zjawiska uczniowie przyjęli, że zależność $U(I)$, badana w opisanym doświadczeniu, jest liniowa, tzn. opisuje ją wyrażenie:

$$U = -|a|I + b \quad \text{dla pewnych współczynników } a \text{ i } b$$

Zadanie 17.2. (0–2)

Na rysunku 2. narysuj prostą najlepiej dopasowaną do punktów pomiarowych oraz oblicz współczynniki a i b tej prostej. Zapisz niezbędne obliczenia.

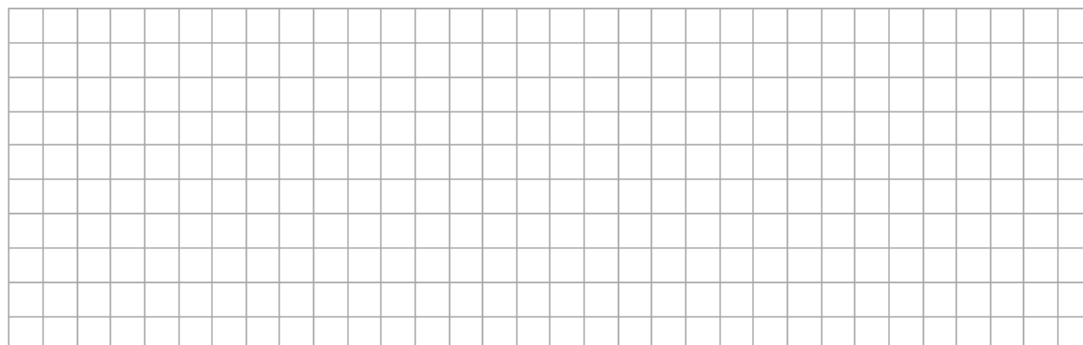


Zadanie 17.3. (0–2)

Przyjmij, że współczynniki a i b w równaniu prostej najlepiej dopasowanej do punktów pomiarowych w opisanym doświadczeniu wynoszą:

$$a = -1,3 \, \Omega \pm 0,2 \, \Omega \quad b = 4,8 \, \text{V} \pm 0,2 \, \text{V}$$

Na podstawie teoretycznego modelu badanego zjawiska oraz wyników doświadczenia wyznacz opór wewnętrzny R_w i siłę elektromotoryczną \mathcal{E} baterii. Zapisz odpowiednie zależności fizyczne. Wyniki zapisz z uwzględnieniem niepewności pomiarowych.

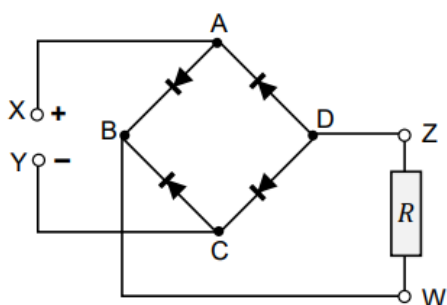


Zadanie 20. Dioda w układzie prostowniczym

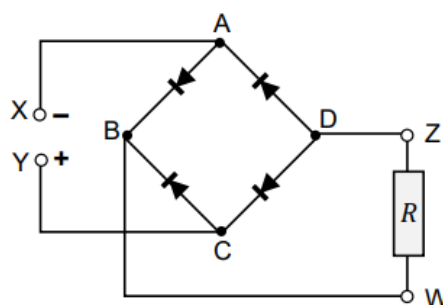
Mostek Graetza składa się z układu czterech diod półprzewodnikowych połączonych tak, aby wymusić określony kierunek przepływu prądu przez odbiornik R . Na wejściu układu diod znajdują się zaciski X, Y, do których podłącza się źródło napięcia zmiennego sinusoidalnie. Natomiast na wyjściu układu znajdują się zaciski W, Z, do których można podłączyć opornik R lub inny odbiornik (zobacz rysunki 1. i 2.).

Na rysunku 1. przedstawiono sytuację w tej połowie okresu T zmian napięcia wejściowego, gdy większy potencjał jest na zacisku X, a na rysunku 2. przedstawiono sytuację w kolejnej połowie okresu zmian napięcia. Węzły obwodu oznaczono literami A, B, C, D.

Rysunek 1.



Rysunek 2.



Zadanie 20.1. (0–2)

Na każdym z rysunków 1. i 2. oznacz zwrot przepływu prądu w obwodzie pomiędzy zaciskami X, Y. W tym celu narysuj strzałki na odpowiednich fragmentach obwodu (pomiędzy sąsiednimi węzłami).

Zadanie 20.2. (0–2)

Na diagramie 1. narysuj wykres zależności napięcia od czasu między zaciskami X i Y, a na diagramie 2. narysuj analogiczny wykres napięcia między zaciskami W i Z. Wykresy sporządź dla przedziału czasu od $t = 0$ do $t = 2T$. Oznacz amplitudy napięć.

Przyjmij, że $U_{XY}(0) = 0$ oraz $U_{maxXY} = U_{maxZW} = U_{max}$.

Diagram 1.

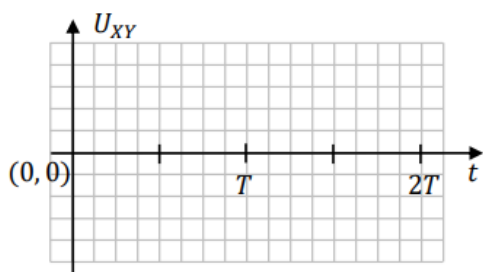
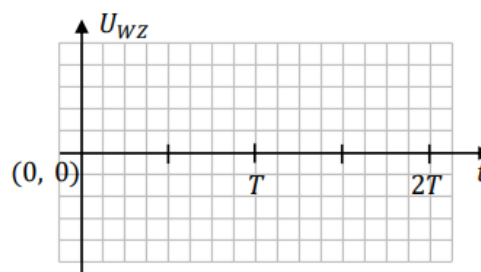


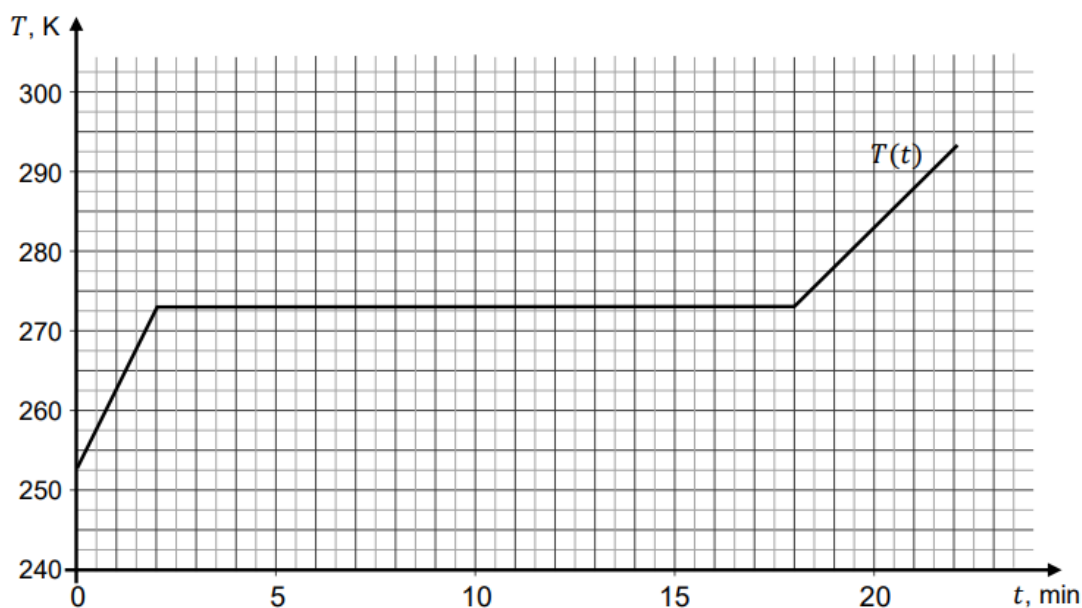
Diagram 2.



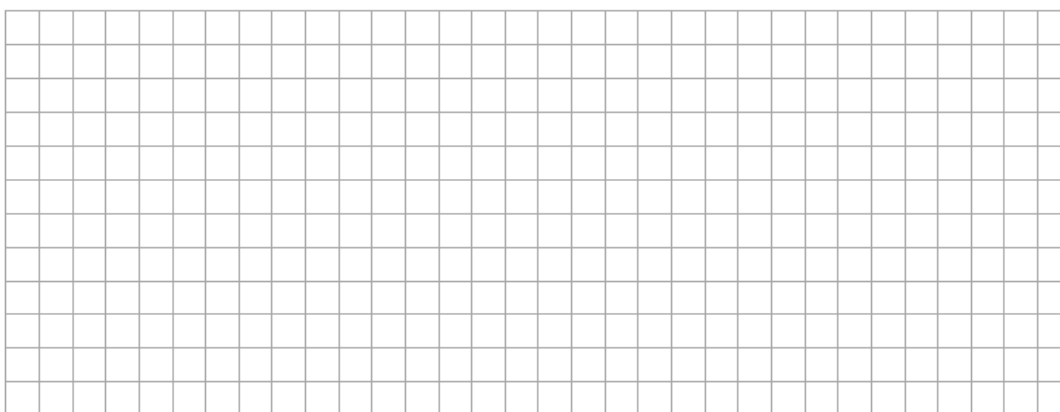
Zadanie 21. Ciepło właściwe i ciepło topnienia lodu

Kawałek lodu o masie $m = 50,0$ g i temperaturze początkowej $T_p = 253$ K ogrzewano przy stałym ciśnieniu. W wyniku tego procesu lód ogrzał się do temperatury topnienia i stopił się całkowicie. Kontynuowano nieprzerwanie dalsze ogrzewanie masy m wody powstałej z lodu. Podczas całego procesu do ogrzewanej masy m była dostarczana energia w postaci ciepła. Szybkość dostarczania ciepła była stała i wynosiła $u = 1050$ J/min.

Wykres poniżej przedstawia zależność $T(t)$ – temperatury T ogrzewanej masy m od czasu t ogrzewania.

**Zadanie 21.1. (0–2)**

Oblicz ciepło topnienia lodu L na podstawie danych odczytanych z wykresu $T(t)$ oraz treści zadania. Zapisz obliczenia.

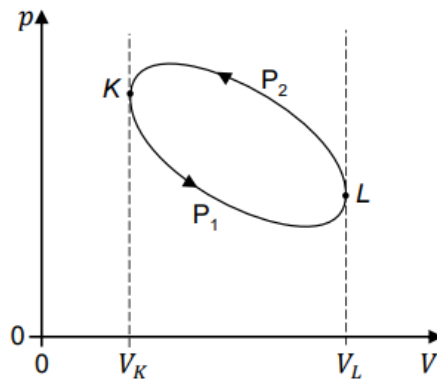


Zadanie 22. Cykle

Cykl przemian termodynamicznych ustalonej masy gazu, który pełni funkcję czynnika roboczego działającej pompy ciepła lub chłodziarki, przebiega w odwrotnym kierunku niż analogiczny cykl przemian w działającym silniku cieplnym.

Zadanie 22.1. (0–2)

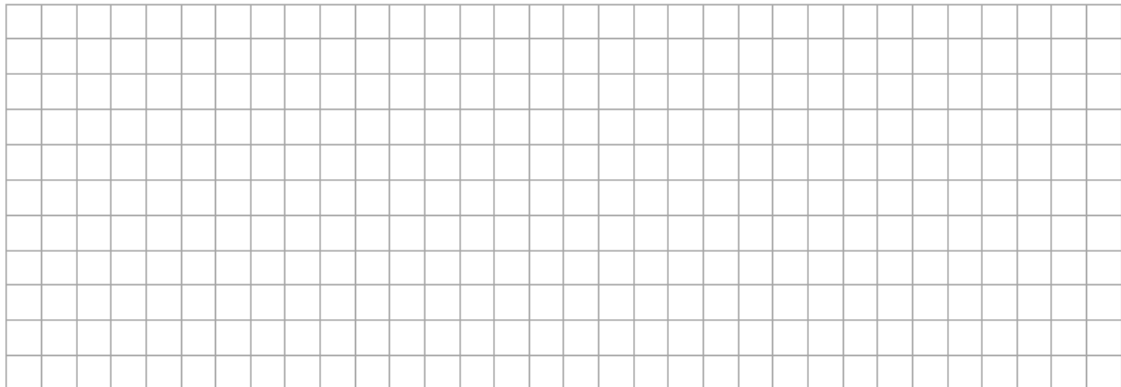
Na poniższym diagramie przedstawiono zależności ciśnienia p od objętości V w pewnym cyklu przemian ustalonej masy gazu. Ten gaz podlega rozprężaniu od objętości V_K do V_L w przemianie P_1 , a następnie podlega sprężaniu od objętości V_L do V_K w przemianie P_2 .



Wykaż, że ilość ciepła $|Q_{odd}|$ oddanego w cyklu $K-L-K$ jest większa od ilości ciepła pobranego $|Q_{pob}|$ w tym cyklu. W tym celu powołaj się na odpowiednie prawa lub zasady fizyczne i wyprowadź poniższą nierówność:

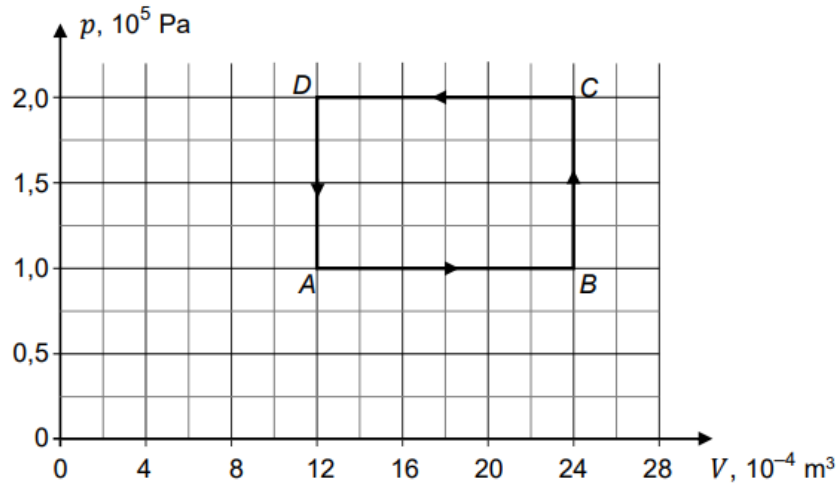
$$|Q_{odd}| > |Q_{pob}|$$

Symbol wartości bezwzględnej $|\cdot|$ wprowadzono, aby uniezależnić nierówności od przyjętej konwencji znaków dla wymienionego ciepła i wykonanej pracy.



Zadanie 22.2. (0–3)

Na diagramie poniżej przedstawiono wykres zależności ciśnienia p od objętości V w cyklu $A-B-C-D-A$ przemian termodynamicznych ustalonej masy gazu doskonałego. Ciepło molowe tego gazu przy stałej objętości wynosi $C_V = \frac{3}{2}R$, gdzie R to stała gazowa.



Oblicz całkowite ciepło pobrane w cyklu $A-B-C-D-A$. Zapisz obliczenia.

Wskazówka: iloczyn nT (liczby moli i temperatury) można wyznaczyć z równania stanu.



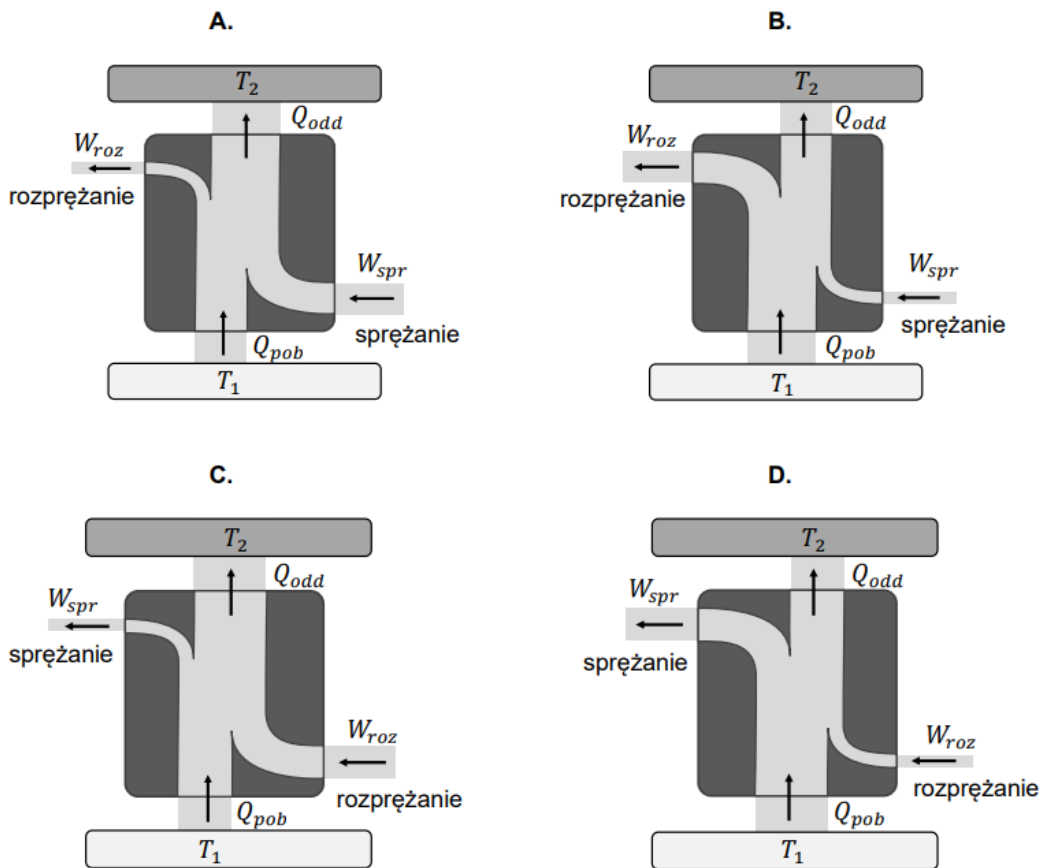
Zadanie 23. Pompa ciepła

W pompie ciepła tzw. czynnik roboczy pobiera ciepło Q_{pob} z obszaru o niższej temperaturze T_1 i oddaje ciepło Q_{odd} do obszaru o wyższej temperaturze T_2 . Podczas wymiany ciepła czynnik roboczy może się rozprężać lub być sprężany albo zmieniać stan skupienia z ciekłego w gazowy i odwrotnie. Praca W_{spr} wykonana przez siły zewnętrzne przy sprężaniu czynnika roboczego jest większa od W_{roz} – pracy sił parcia czynnika roboczego przy rozprężaniu. Różnicę tych prac nazwiemy pracą całkowitą W_{cal} , jaką należy (efektywnie) wykonać nad czynnikiem roboczym pompy pracującej w jednym cyklu.

Zadanie 23.1. (0–1)

Przeływ energii w pompie ciepła można przedstawić na schemacie blokowym, na którym szerokości „wstęp” odpowiadają wartościom bezwzględny pracy podczas rozprężania i sprężania oraz wartościom bezwzględny ciepła pobieranego i oddawanego.

Na którym diagramie (spośród A–D) prawidłowo przedstawiono schemat blokowy przepływu energii w postaci ciepła i pracy mechanicznej w pompie ciepłej? Zaznacz właściwą odpowiedź spośród podanych.



Informacja do zadań 23.2.–23.3.

Efektywność pompy ciepła (którą oznaczymy jako EPC) określa się w jednym cyklu jako:

$$EPC = \frac{|Q_{odd}|}{|W_{cal}|}$$

Z praw termodynamiki wynika, że nie może istnieć pompa ciepła pracująca pomiędzy dwoma obszarami o temperaturach T_1 i T_2 , która miałaby efektywność większą niż (temperatury w poniższym wzorze wyrażono w kelwinach):

$$EPC_{max} = \frac{T_2}{T_2 - T_1}$$

Zadanie 23.2. (0–2)

Oceń prawdziwość poniższych stwierdzeń. Zaznacz P, jeśli stwierdzenie jest prawdziwe, albo F – jeśli jest fałszywe.

1.	Jeżeli dwie pompy oddają do otoczenia takie same ilości ciepła, to większą efektywność ma ta spośród pomp, która pobiera więcej ciepła.	P	F
2.	Ciepło, które oddaje pompa ciepła w jednym cyklu pracy, jest mniejsze (co do wartości bezwzględnej) od ciepła pobranego przez nią w jednym cyklu pracy.	P	F
3.	Podczas pracy takiej pompy ciepło samorzutnie przepływa z obszaru o niższej temperaturze do obszaru o wyższej temperaturze.	P	F

Zadanie 25. Jądro technetu

W diagnostyce i terapii medycznej stosuje się m.in. jądrowe promieniowanie gamma z zakresu niskich energii. Źródłem takiego promieniowania są procesy zachodzące w jądrach izotopów pierwiastków promieniotwórczych. Jednym z takich procesów, które wykorzystuje się w medycynie, jest przejście jądra technetu ${}^{99m}_{43}\text{Tc}$ ze stanu wzbudzonego do stanu podstawowego ${}^{99}\text{Tc}$ (lewy górny indeks m oznacza stan wzbudzony). W tym procesie jest emitowany kwant gamma.

Czas połowicznego rozpadu (w tym przypadku przejścia do stanu podstawowego) wzbudzonych jąder technetu wynosi $T = 6$ h. Masa jądra technetu ${}^{99}\text{Tc}$ w stanie podstawowym wynosi $m = 164,23768 \cdot 10^{-27}$ kg.

Jądra wzbudzonego technetu ${}^{99m}_{43}\text{Tc}$ otrzymuje się m.in. w wyniku przemiany β^- , której podlegają jądra izotopu molibdenu ${}^{99}\text{Mo}$. W innej metodzie jądra wzbudzonego technetu ${}^{99m}_{43}\text{Tc}$ otrzymuje się w wyniku ostrzeliwania wiązką rozpędzonych protonów tarczy z izotopu molibdenu ${}^{100}\text{Mo}$. Gdy jeden proton uderzy w jądro ${}^{100}\text{Mo}$, to dochodzi do reakcji jądrowej, której produktami są jądro ${}^{99m}_{43}\text{Tc}$ oraz dwie pewne cząstki elementarne.

Zadanie 25.1. (0–3)

Zapisz poniżej równania reakcji/przemian jądrowych 1.–3., opisanych w informacji do zadania 25. Uwzględnij liczby atomowe oraz liczby masowe jąder, oznaczenie stanu wzbudzonego jądra, oznaczenie fotonu oraz liczbę cząstek elementarnych.

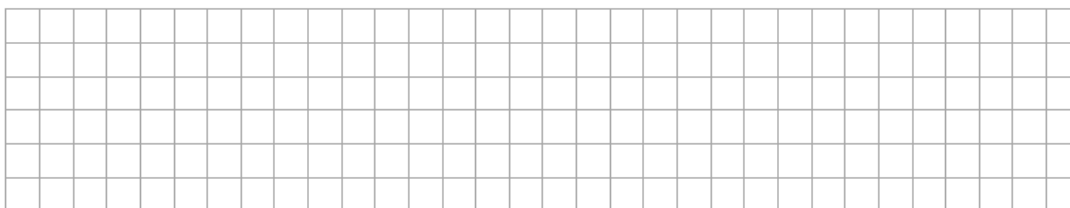
1. Reakcja przemiany jądra technetu ze stanu wzbudzonego do stanu podstawowego:

2. Reakcja przemiany β^- , w wyniku której z jądra ${}^{99}\text{Mo}$ powstaje jądro technetu w stanie wzbudzonym:

3. Reakcja jądrowa zderzenia protonu z jądrem ${}^{100}\text{Mo}$, w wyniku której powstaną jądro technetu w stanie wzbudzonym i dwie cząstki elementarne:

Zadanie 27.2. (0–3)

Wykaż, że wartość pędu pojedynczego elektronu w rozpędzonej wiązce wynosi $p = 1,33 \cdot 10^{-23} \text{ kg} \cdot (\text{m/s})$. Wykonaj odpowiednie obliczenia.

**Zadanie 27.3. (0–2)**

Oblicz kąt α_1 określony pomiędzy osią układu a kierunkiem, pod jakim obserwuje się na ekranie pierwsze lokalne maksimum liczby rejestrowanych elektronów (L_1). Zapisz obliczenia.

Do obliczeń przyjmij, że wartość pędu pojedynczego elektronu w rozpędzonej wiązce jest równa $p = 1,33 \cdot 10^{-23} \text{ kg} \cdot (\text{m/s})$.

